

# Mesures de Coefficients de Diffusion par Résonance Magnétique Nucléaire

Vincent Sarou-Kanian

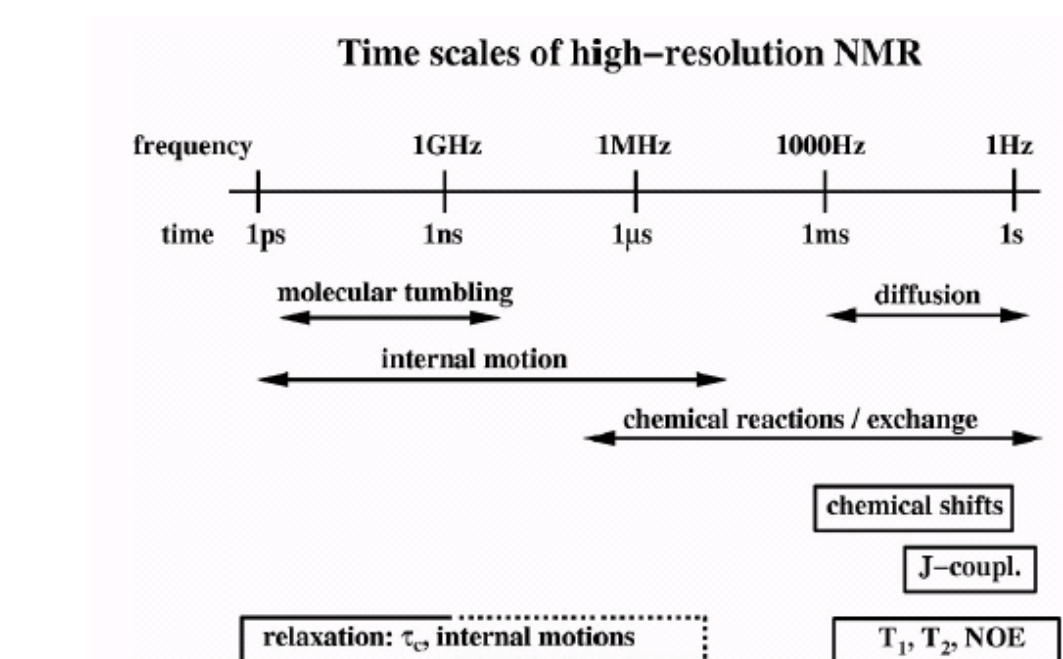
Atelier diffusion dans les oxydes amorphes solides et liquides  
13 Septembre 2018, Orléans

# Résonance Magnétique Nucléaire

- Matériaux liquides et solides / ordonnés ou désordonnés
  - Structure locale à l'échelle atomique (Å-nm)
  - La dynamique (Å-mm)
  - Imagerie (IRM)
- 
- + Non invasive
  - + Non destructive
  - + Sélectivité isotopique
  - + Volumique
- Peu sensible (mMol)
  - Echantillon généralement diamagnétique ( $\sim$  ~~métaux de transition~~)

# Dynamique par RMN

- **Relaxométrie** (mesures des temps de relaxation RMN –  $T_1$ ,  $T_2$ ,  $T_{1Q}$ )
  - Sonde les échelles de temps caractéristiques des mouvements atomiques, moléculaires (intra/inter)
- **Expérience d'échange**
  - Sonde le changement d'environnement structural d'atomes entre deux instants
- Mesures du **coefficients d'auto-diffusion**
  - Sonde la dynamique translationnelle des atomes/molécules
- ... et bien d'autres

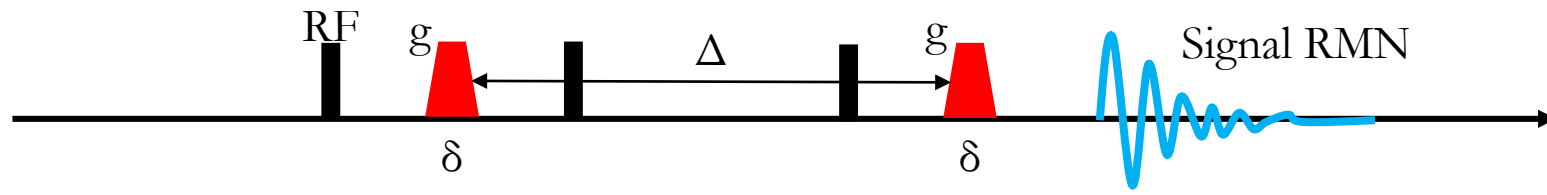


# Expérience de diffusion par RMN



Impulsions radiofréquences : manipulation de l'aimantation

Impulsion de champ gradient : encodage spatial de l'aimantation



Un exemple de séquence RMN pour la mesure du coefficient de diffusion

# Obtention du coefficient de diffusion $D$

L'expression analytique de l'atténuation de l'écho  $S(2\tau)$  est telle que:

$$S(2\tau) = S(0) \cdot \exp(-2\tau/T_2) \cdot \exp\left(-\gamma^2 D g^2 \delta^2 (\Delta - \delta/3)\right)$$

$S(0)$  : Signal de l'écho sans gradients

$D$  : coefficient d'auto-diffusion ( $\text{m}^2/\text{s}$ )

$\gamma$  : rapport gyromagnétique

$g$  : intensité du gradient

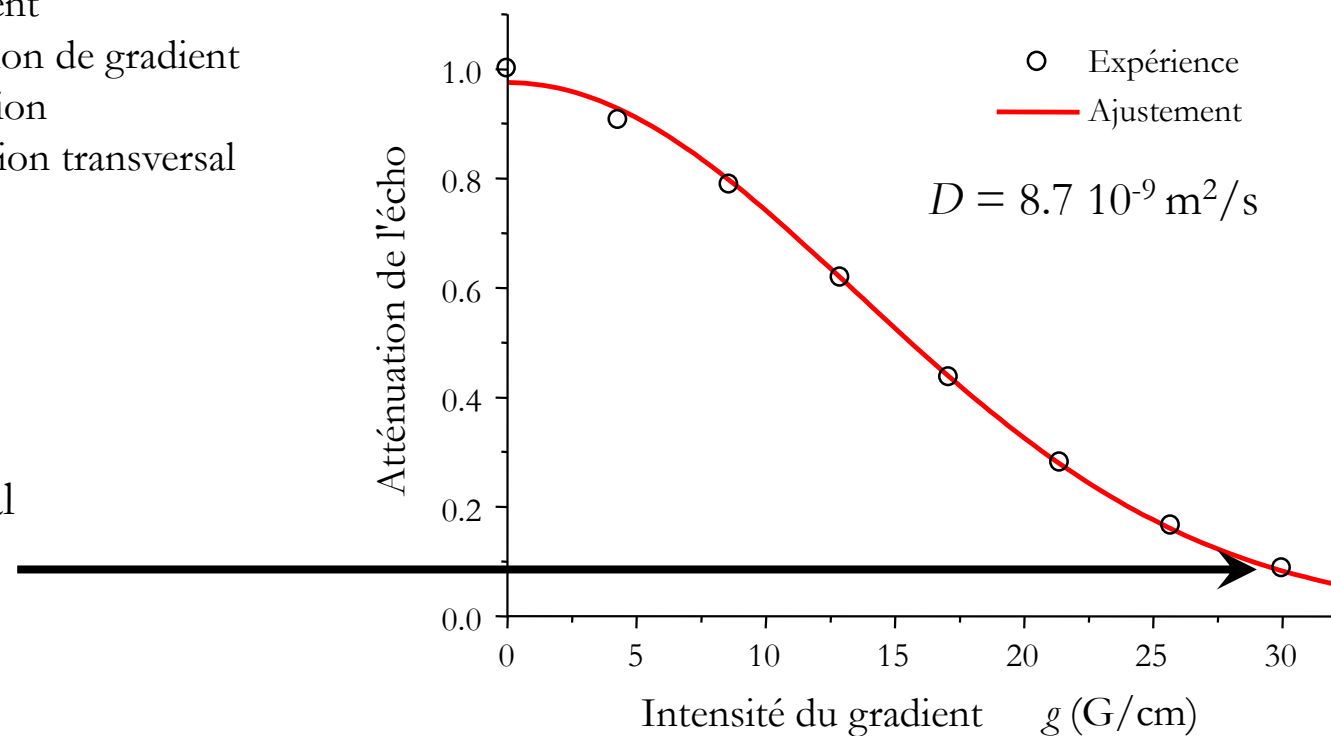
$\delta$  : durée de l'impulsion de gradient

$\Delta$  : période de diffusion

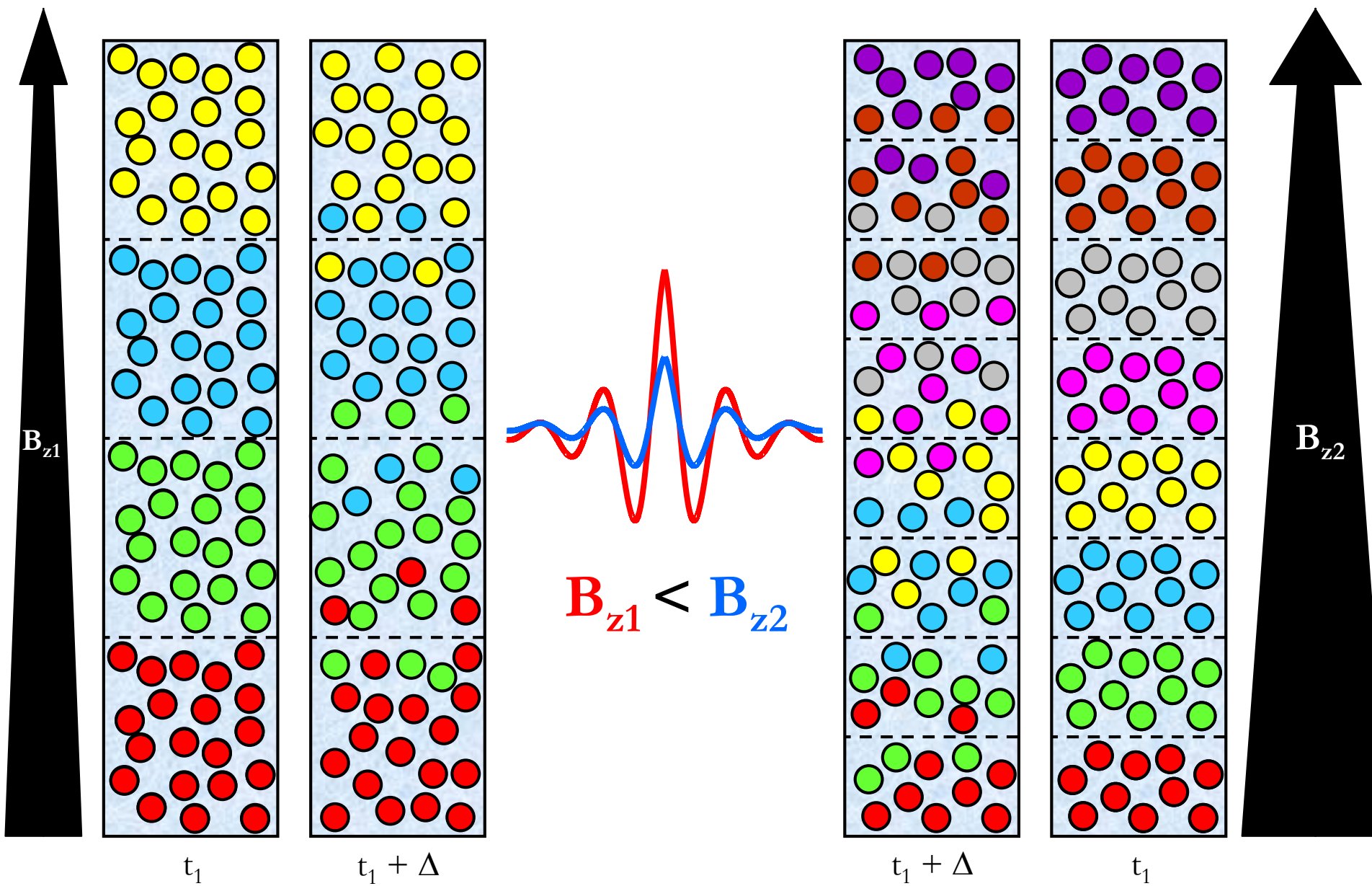
$T_2$  : temps de relaxation transversal

## Expérimentalement

- ✓ Mesure l'atténuation de l'écho pour plusieurs valeurs de gradients ( $\geq 8$ )
- ✓ Le gradient le plus élevé atténue le signal d'un facteur 10
- ✓ Calcul de  $D$  par ajustement



# Importance de l'intensité du gradient $g$



# Importance de $\gamma$

$\gamma$  (MHz pour  $B_0=9.4\text{T}$ )

$^1\text{H}$  400

$^{19}\text{F}$  376

$^{31}\text{P}$  162

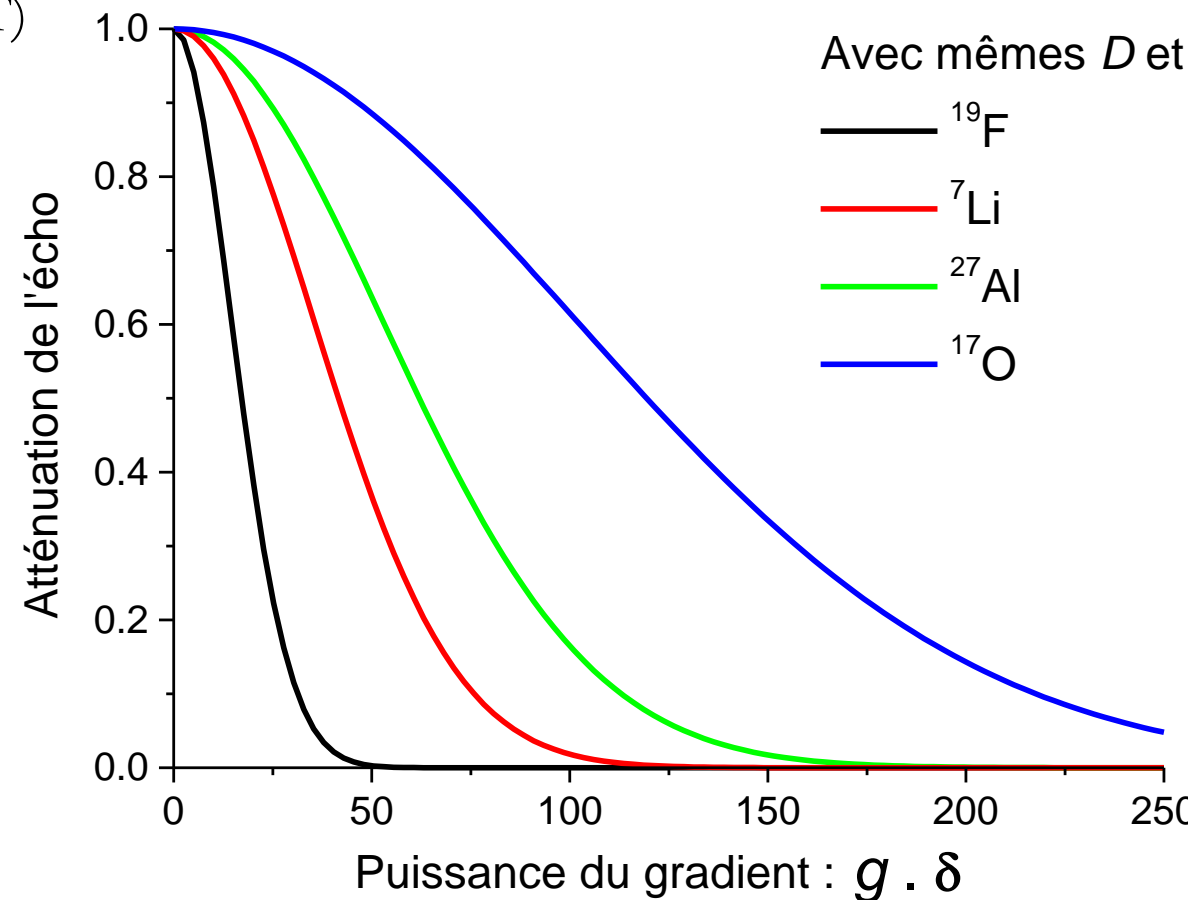
$^7\text{Li}$  155

$^{23}\text{Na}$  105

$^{27}\text{Al}$  104

$^{29}\text{Si}$  75

$^{17}\text{O}$  54



Avec mêmes  $D$  et  $\Delta$

$^{19}\text{F}$

$^7\text{Li}$

$^{27}\text{Al}$

$^{17}\text{O}$



Le signal détecté dépend également:

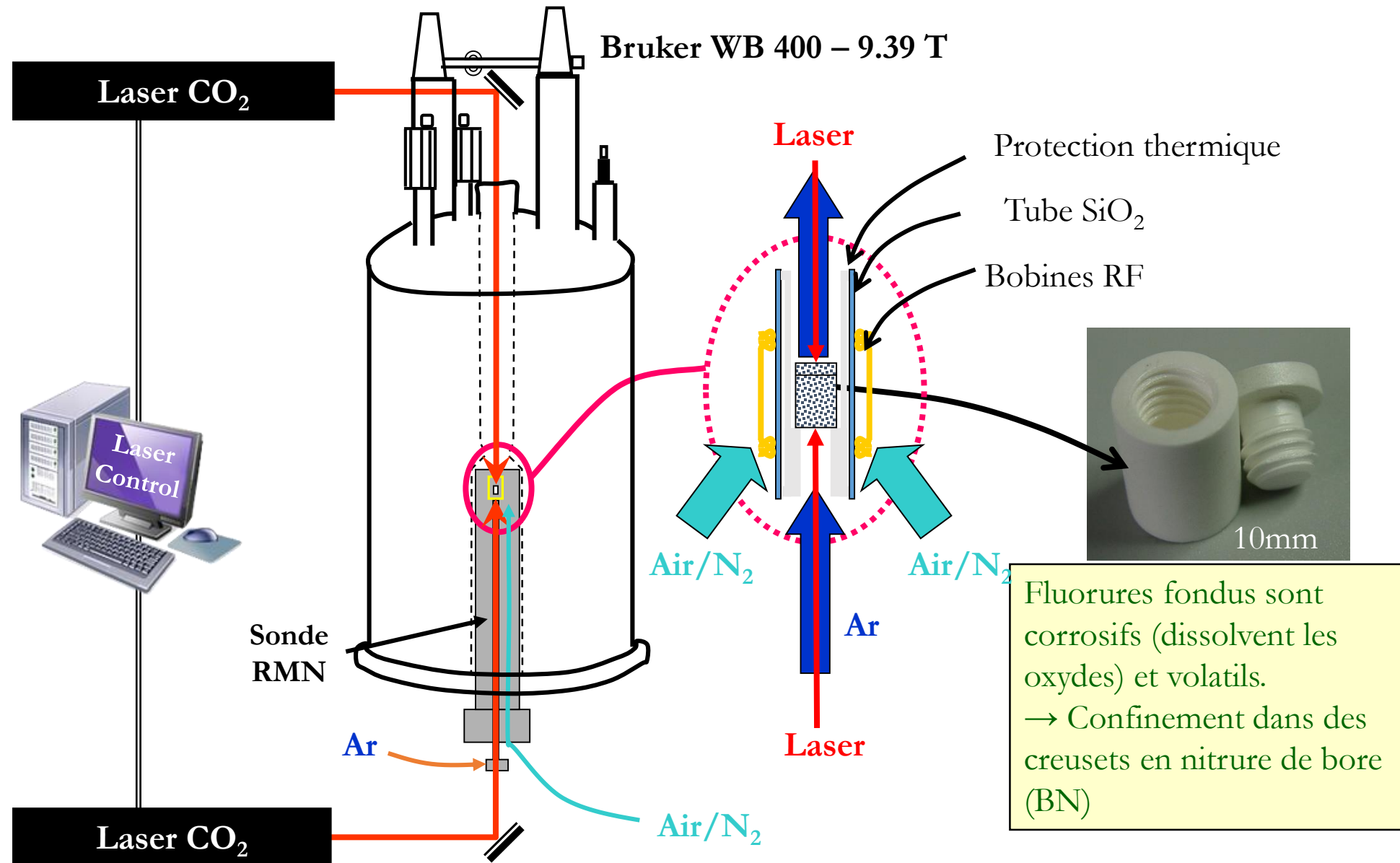
- de l'abondance ( $^{29}\text{Si}=4.7\%$ ,  $^{17}\text{O}=0.04\%$ )
- de la relaxation du noyau:  $I>1/2$ ,  $T_{1,2}$  peuvent devenir du même ordre que  $\Delta$ .

# Noyaux observables en diffusion RMN

• Group	I	II	IIIa	IVa	Va	VIa	VIIa	VIIIa	VIIIb	VIIIc	IB	IIB	III	IV	V	VI	VII	VIII	
Period																			
1	1 <u>H</u>																2 <u>He</u>		
2	3 <u>Li</u>	4 <u>Be</u>									5 <u>B</u>	6 <u>C</u>	7 <u>N</u>	8 <u>O</u>	9 <u>F</u>		10 <u>Ne</u>		
3	11 <u>Na</u>	12 <u>Mg</u>									13 <u>Al</u>	14 <u>Si</u>	15 <u>P</u>	16 <u>S</u>	17 <u>Cl</u>		18 Ar		
4	19 <u>K</u>	20 <u>Ca</u>	21 <u>Sc</u>	22 <u>Ti</u>	23 <u>V</u>	24 <u>Cr</u>	25 <u>Mn</u>	26 <u>Fe</u>	27 <u>Co</u>	28 <u>Ni</u>	29 <u>Cu</u>	30 <u>Zn</u>	31 <u>Ga</u>	32 <u>Ge</u>	33 <u>As</u>	34 <u>Se</u>	35 <u>Br</u>	36 <u>Kr</u>	
5	37 <u>Rb</u>	38 <u>Sr</u>	39 <u>Y</u>	40 <u>Zr</u>	41 <u>Nb</u>	42 <u>Mo</u>	43 Tc	44 <u>Ru</u>	45 <u>Rh</u>	46 Pd	47 <u>Ag</u>	48 Pd	49 <u>Cd</u>	50 <u>In</u>	51 <u>Sn</u>	52 <u>Sb</u>	53 <u>Te</u>	54 <u>Xe</u>	
6	55 <u>Cs</u>	56 <u>Ba</u>	*	71 <u>Lu</u>	72 <u>Hf</u>	73 <u>Ta</u>	74 <u>W</u>	75 <u>Re</u>	76 <u>Os</u>	77 <u>Ir</u>	78 <u>Pt</u>	79 <u>Au</u>	80 <u>Hg</u>	81 <u>Tl</u>	82 <u>Pb</u>	83 <u>Bi</u>	84 Po	85 At	86 Rn
7	87 Fr	88 Ra	**	103 Lr	104 Unq	105 Unp	106 Unh	107 Uns	108 Uno	109 Mt	110 Uun	111 Uuu	112 Uub	113 Uut	114 Uuq	115 Uup	116 Uuh	117 Uus	118 Uuo
*Lanthanides		*	57 <u>La</u>	58 Ce	59 <u>Pr</u>	60 <u>Nd</u>	61 Pm	62 <u>Sm</u>	63 <u>Eu</u>	64 <u>Gd</u>	65 <u>Tb</u>	66 <u>Dy</u>	67 <u>Ho</u>	68 <u>Er</u>	69 <u>Tm</u>	70 <u>Yb</u>			
**Actinides		**	89 Ac	90 Th	91 Pa	92 <u>U</u>	93 Np	94 Pu	95 Am	96 Cm	97 Bk	98 Cf	99 Es	100 Fm	101 Md	102 No			

Nuclear Spins 1/2 1 3/2 5/2 7/2 9/2

# RMN Haute Température



# High temperature diffusion NMR: probes @ CEMHTI

Bruker probe (diff-5) modified in CEMHTI (with Bruker)

z-gradients: up to 55 G/cm

2 RF channels:

-  $^1\text{H}$  -  $^{19}\text{F}$

⇒  $D$  range:  $10^{-10}$  to  $10^{-8} \text{ m}^2/\text{s}$

- X Broad band ( $^{17}\text{O}$  -  $^{31}\text{P}$ )



$$I = I_0 \exp \left[ -D(\gamma g \delta)^2 \left( \Delta + \frac{2\delta}{3} + \frac{3\tau}{4} \right) \right]$$

Low  $D$   
and/or Low  $\gamma$  nuclei  
and/or Short delays (relaxation)  
⇒ Higher gradients

Bruker probe (diff-30/50) modified in CEMHTI

z-gradients: up to 2400 G/cm

RF inserts  $^1\text{H}$ ,  $^7\text{Li}$ ,  $^{17}\text{O}$ ,  $^{19}\text{F}$ ,  $^{23}\text{Na}$  -  $^{27}\text{Al}$

⇒  $D$  range:  $10^{-12}$  to  $10^{-8} \text{ m}^2/\text{s}$



# Molten fluorides: cryolitic melts

Molten fluorides: used in various technologies (pyroprocessing, electrolysis, fluxing...) to dissolve oxides.

Particular chemistry: can contain free, complexed or connected ions.

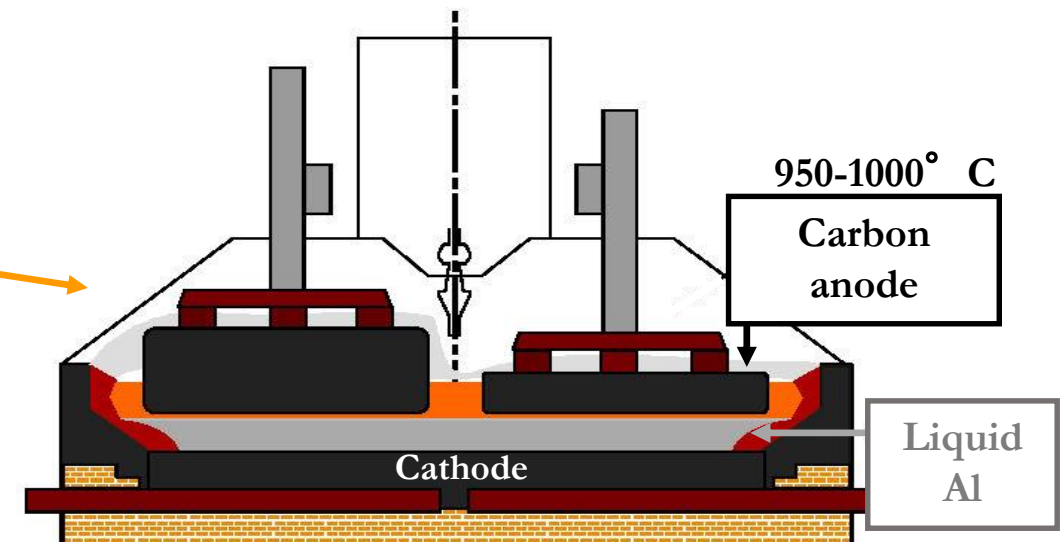
Speciation and acidity need better understanding

**Aluminium production:** alumina ( $\text{Al}_2\text{O}_3$ ) dissolved in cryolite( $\text{Na}_3\text{AlF}_6$ )-based bath and reduced by electrolysis at  $T \sim 1000^\circ \text{ C}$



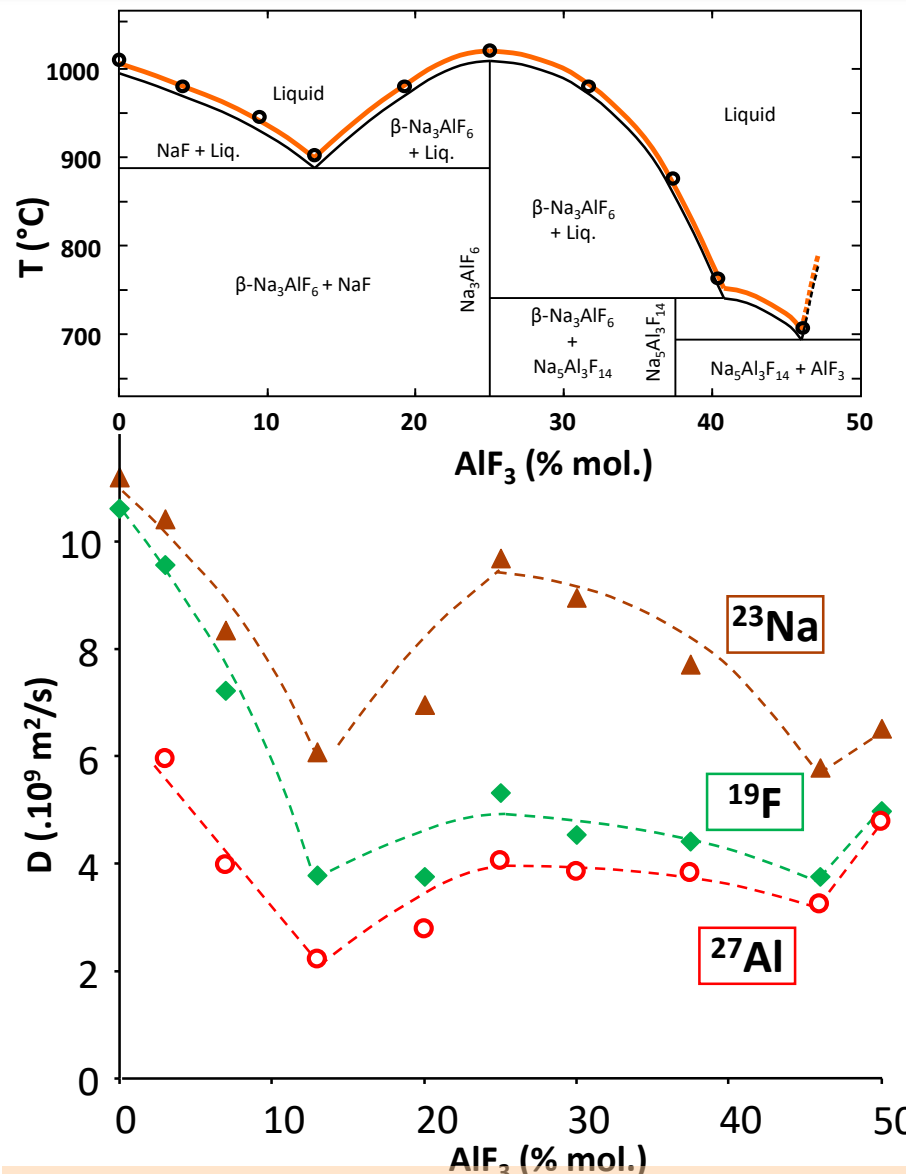
+ fluorides additives

- Free ions:  $\text{F}^-$ ,  $\text{Na}^+$
- Al complexes :  $\text{AlF}_4^-$ ,  $\text{AlF}_5^{2-}$ ,  $\text{AlF}_6^{3-}$ ,  $\text{Al}_2\text{O}_2\text{F}_4^{2-}$



Simplified scheme of an electrolysis cell

# Self-diffusion in NaF-AlF<sub>3</sub>



M. Gobet, V. Sarou-Kanian, A.L. Rollet, M. Salanne, C. Simon, C. Bessada *ECS Transactions* 2010, 33, 679

**Na:** D<sub>Na</sub> follows the phase diagram. The diffusion of Na is mainly affected by T

⇒ Monoatomic cations diffusing “freely”

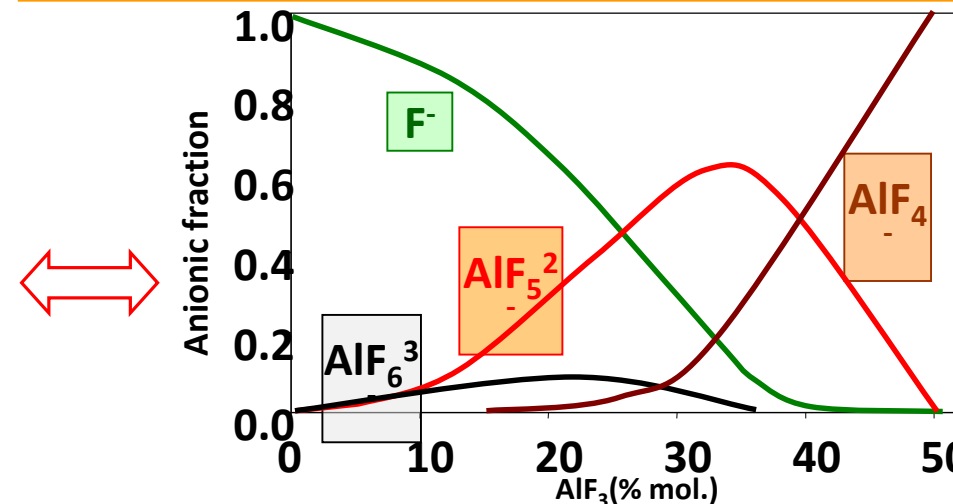
**Al:** D<sub>Al</sub> is much lower than D<sub>Na</sub>. Al is involved in larger entities

⇒ AlF<sub>n</sub><sup>3-n</sup> anionic units

**F:**  $D_F = x_F \cdot D_F^- + x_{AlF_n^{3-n}} \cdot D_{AlF_n^{3-n}}$

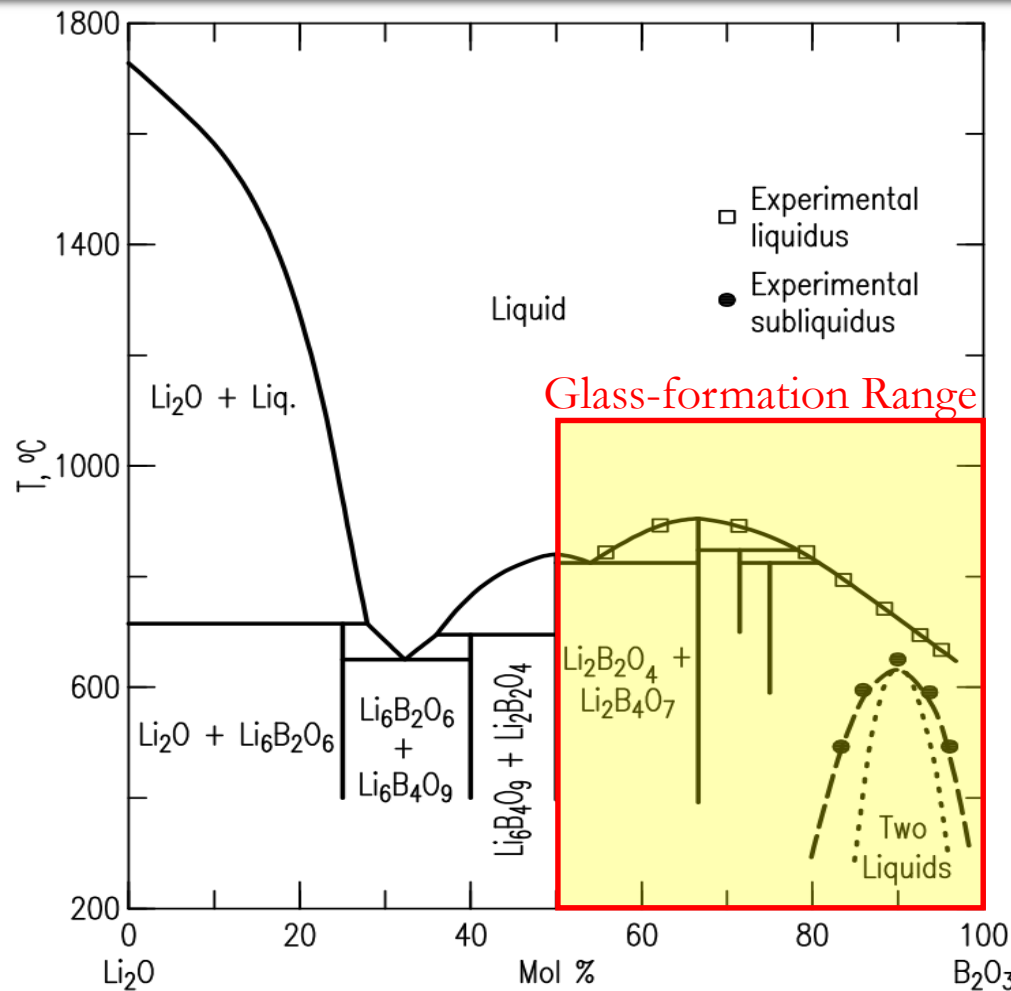
D<sub>F</sub> ≈ D<sub>Na</sub> at low [AlF<sub>3</sub>] then converges towards D<sub>Al</sub>

⇒ The content of F<sup>-</sup> decreases with [AlF<sub>3</sub>]



Robert *et al.*, *Inorg. Chem.* 1999, 38, 214  
Lacassagne *et al.*, *J. Phys. Chem. B* 2002, 106, 1862

# Oxides: Li diffusion in lithium borates



Kim & Sanders, Ceram. Int. v26, p769

$x\text{Li}_2\text{O}-(1-x)\text{B}_2\text{O}_3$   
→ ionic conducting glasses

Our study:  
7 crushed glass  
samples

$x=0.20, 0.25, 0.30,$   
 $0.35, 0.40, 0.45, 0.50$

Molten state  
 $850^\circ \text{ C} \leq T \leq 1000^\circ \text{ C}$   
Glasses around  $T_g$   
 $450^\circ \text{ C} \leq T \leq 600^\circ \text{ C}$

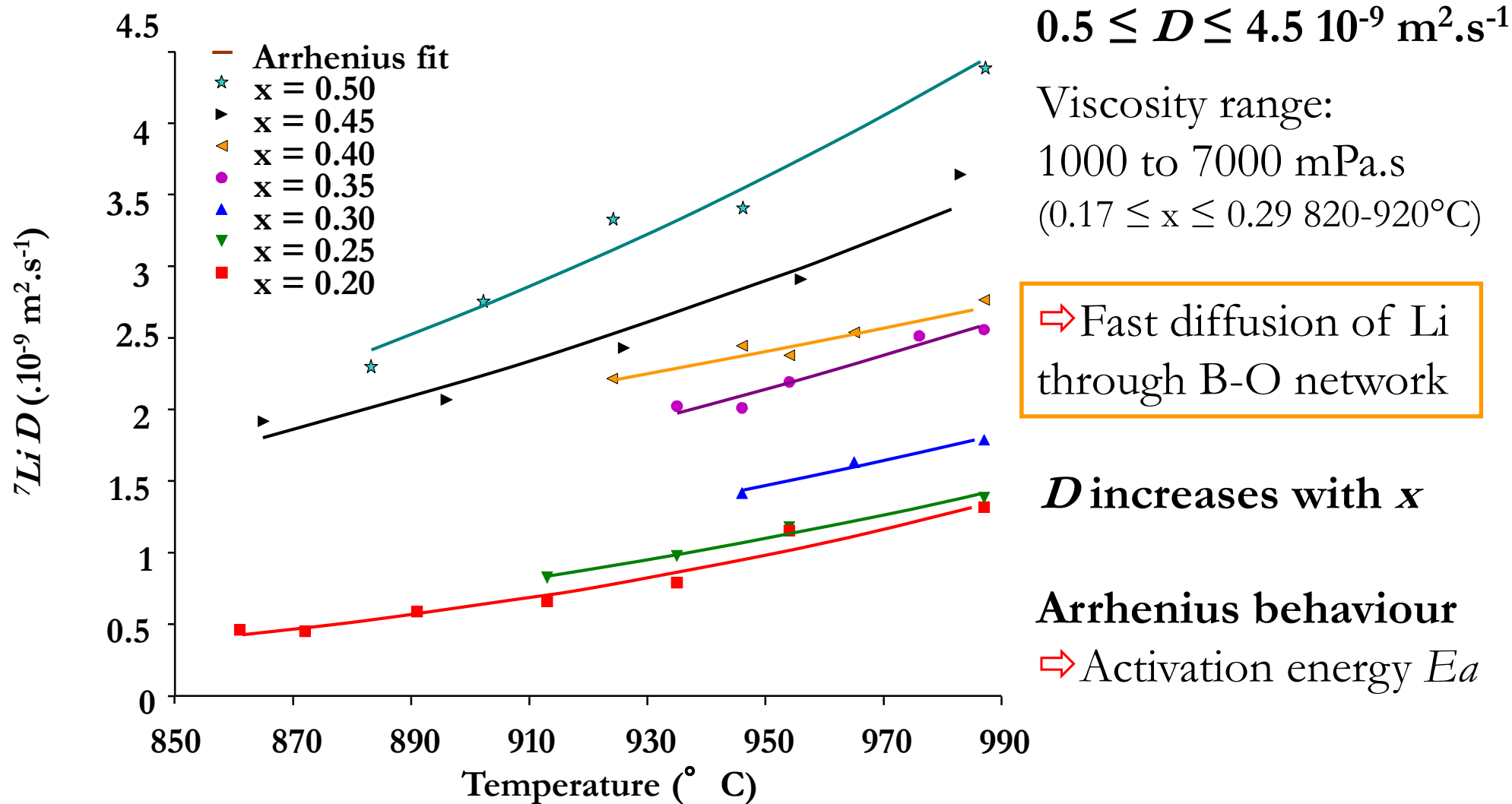
Collaboration with **T. Ohkubo, M. Nozawa & Y. Iwadate**

Graduate School of Engineering, Chiba University, Japan



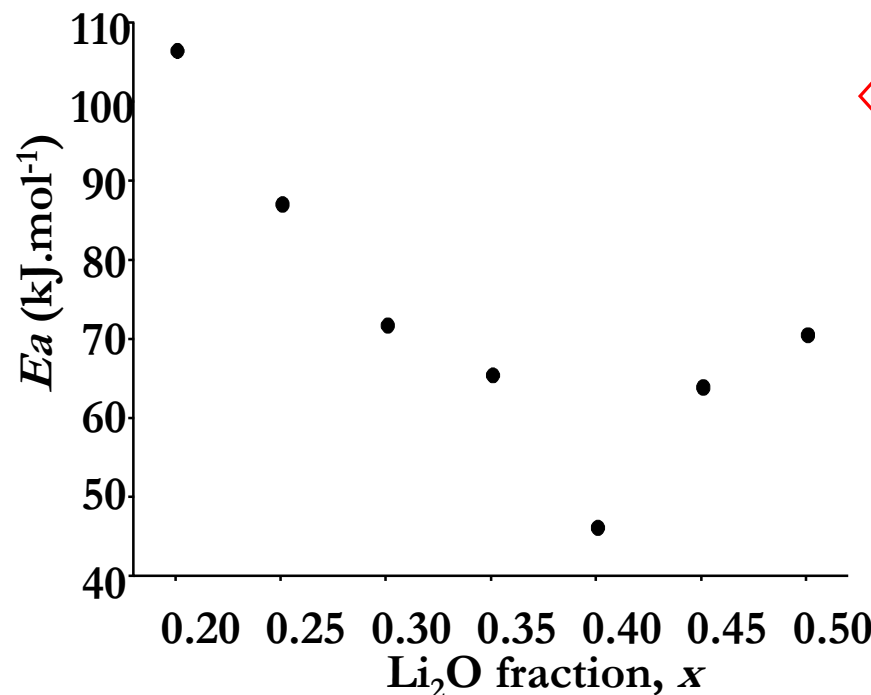
Chiba University

# Li diffusion in molten state as a function of temperature

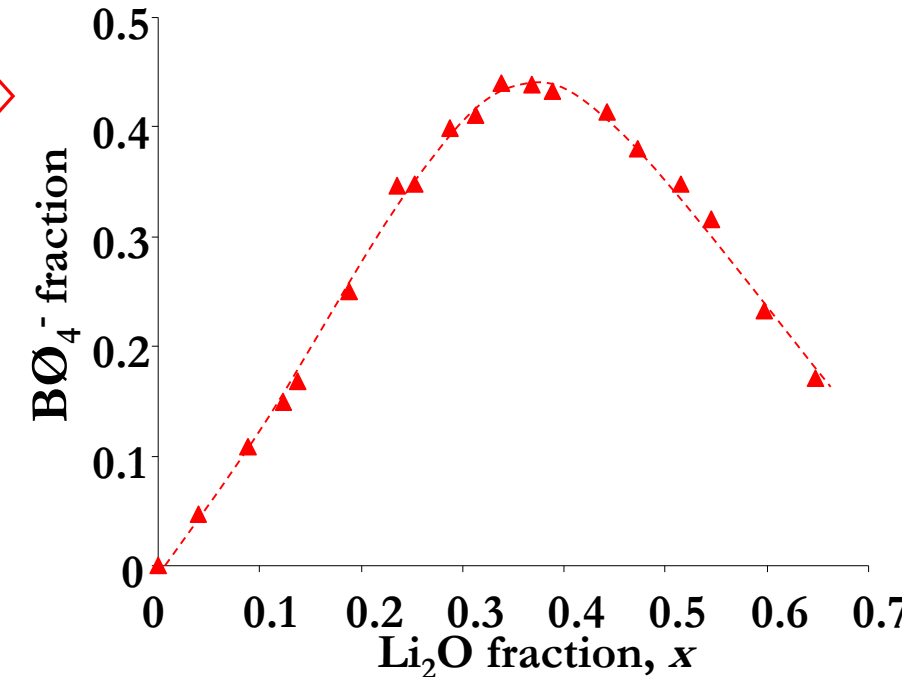


# Activation energy in $\text{Li}_2\text{O}-\text{B}_2\text{O}_3$ melts

Non-monotonous trend for  
 $E_a$ : minimum for  $x \approx 0.4$



Boron speciation in glasses  
MAS  $^{11}\text{B}$  NMR:  $\text{BO}_4^-$  fraction



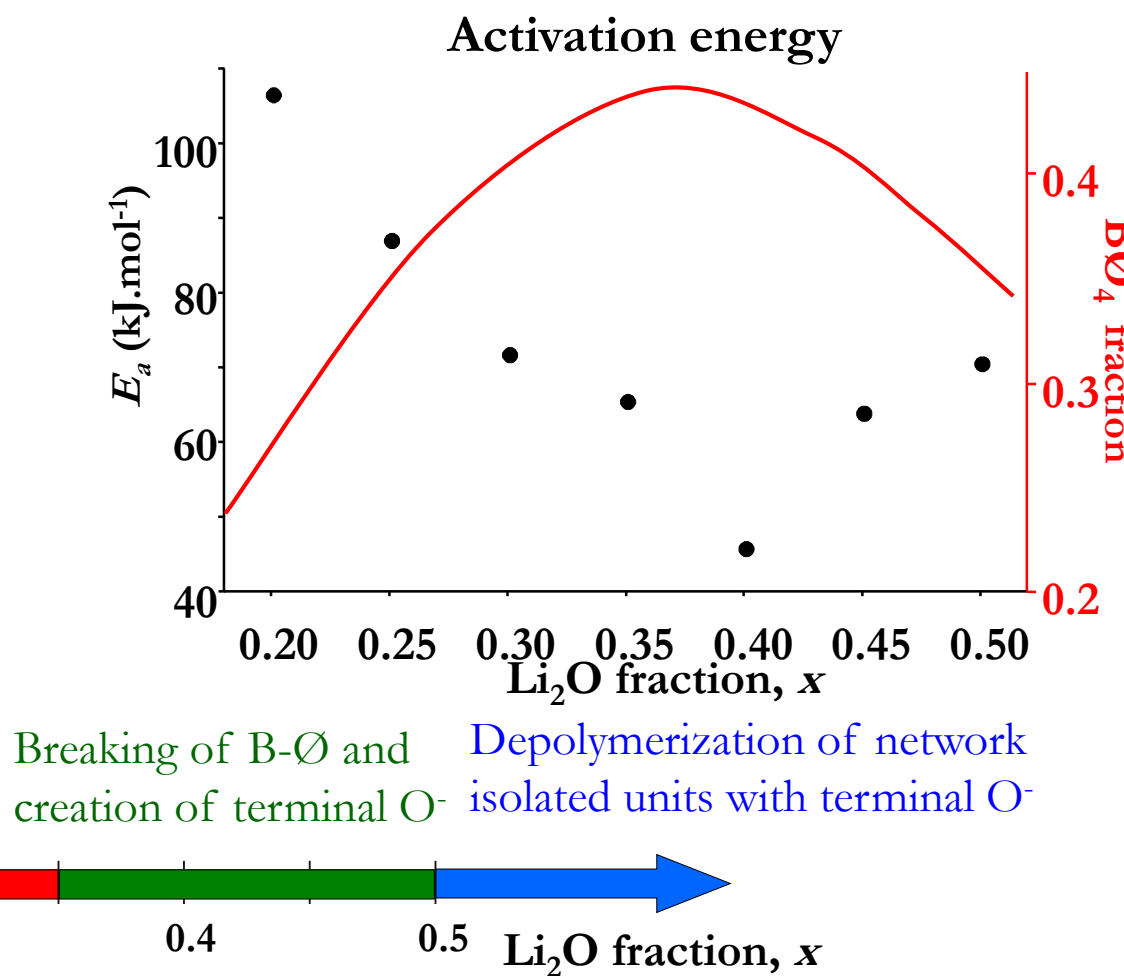
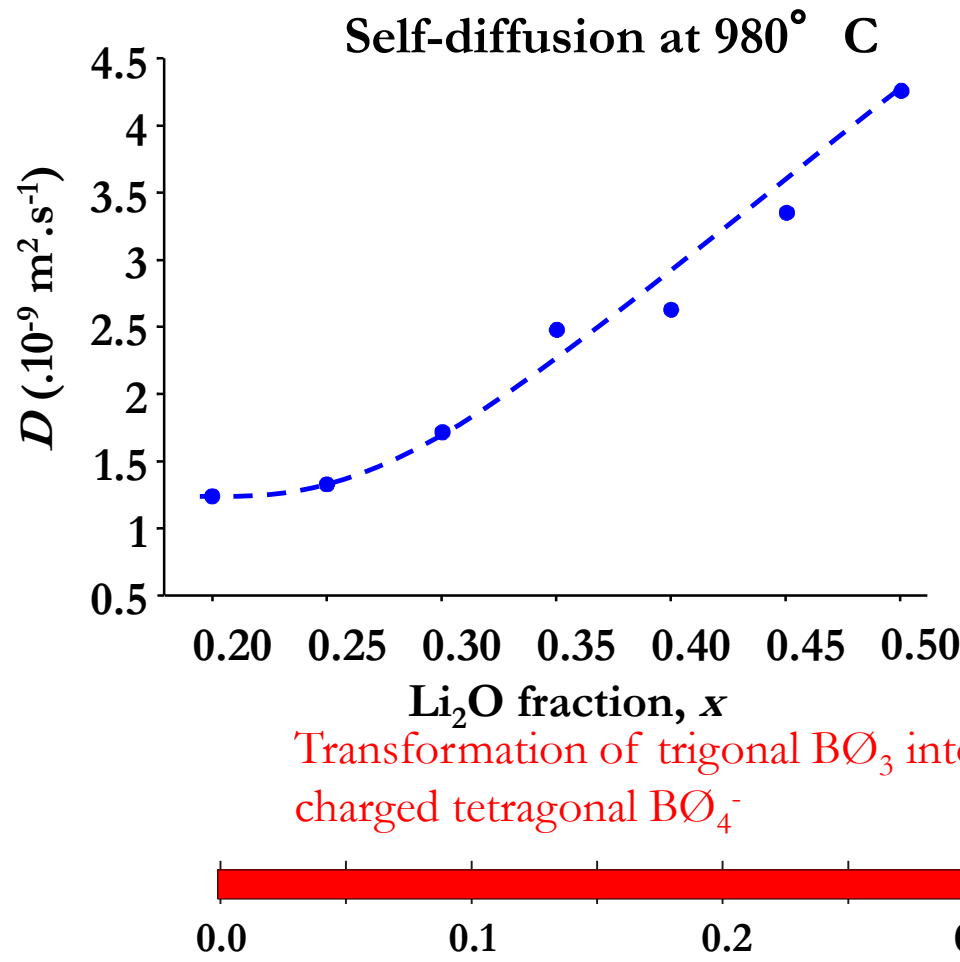
Shibata et al. *J. Non-Cryst. Solids* 1986, 85, 29

Boron oxide: trigonal  $\text{BO}_3$

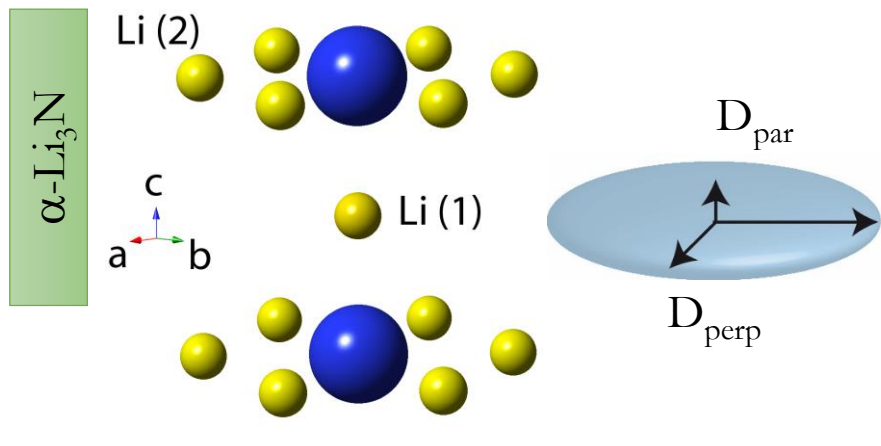
$\text{O}$  = bridging O atom

Lithium is a **network modifier**:  $\text{BO}_3 \rightarrow$  tetragonal  $\text{BO}_4^-$

# Diffusion vs. structure



Balkanski & Elliot, 1998  
“Atomic diffusion in disordered materials”



Sample is a powder: distribution of orientations

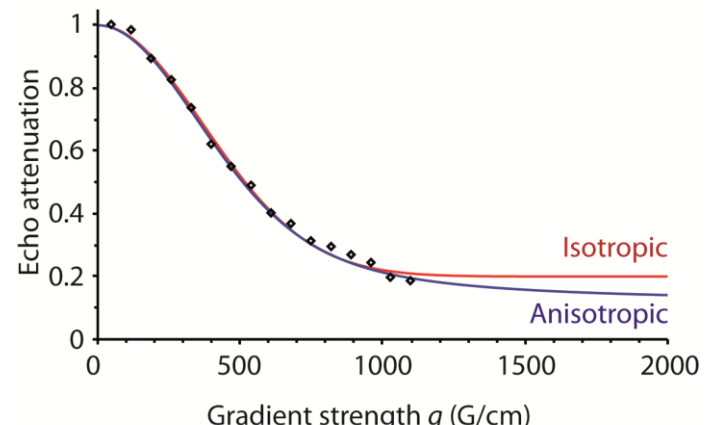
Cylindrical symmetry

⇒  $D$  along the axis ( $D_{par}$ ) ≠  $D$  within the plan ( $D_{perp}$ )

$$\langle z^2(\Delta) \rangle = 2D_{par}(\Delta)\Delta \cos^2 \Theta + 2D_{perp}(\Delta)\Delta \sin^2 \Theta$$

$$\Psi(\delta g, \Delta) = \frac{1}{2} \int_0^\pi \exp\{-(\gamma \delta g)^2 \Delta (D_{par} \cos^2 \Theta + D_{perp} \sin^2 \Theta)\} \sin \Theta \, d\Theta$$

Isotropic +  $\psi_0$  or anisotropic +  $\psi_0$ ?



From XRD: 90%  $\text{Li}_3\text{N}$  - 10% of  $\text{Li}_2\text{O}$

$T = 431^\circ\text{C}$

$D_{ab} = 3.0 \cdot 10^{-10} \text{ m}^2/\text{s}$

$D_c = 0$

Non-diffusing part:

$\Psi_0 = 12\%$

OR

$D = 2.0 \cdot 10^{-10} \text{ m}^2/\text{s}$

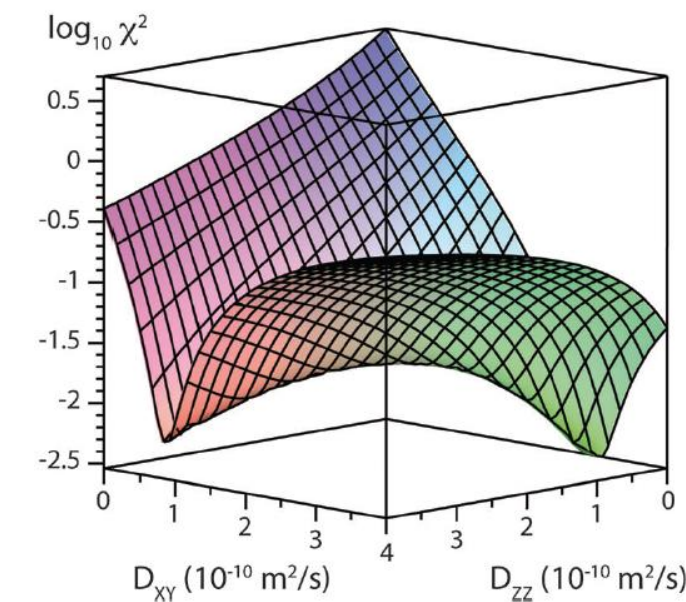
$\Psi_0 = 20\%$

Z.Wang, M.Gobet, V.Sarou-Kanian, D.Massiot, C.Bessada, M.Deschamps

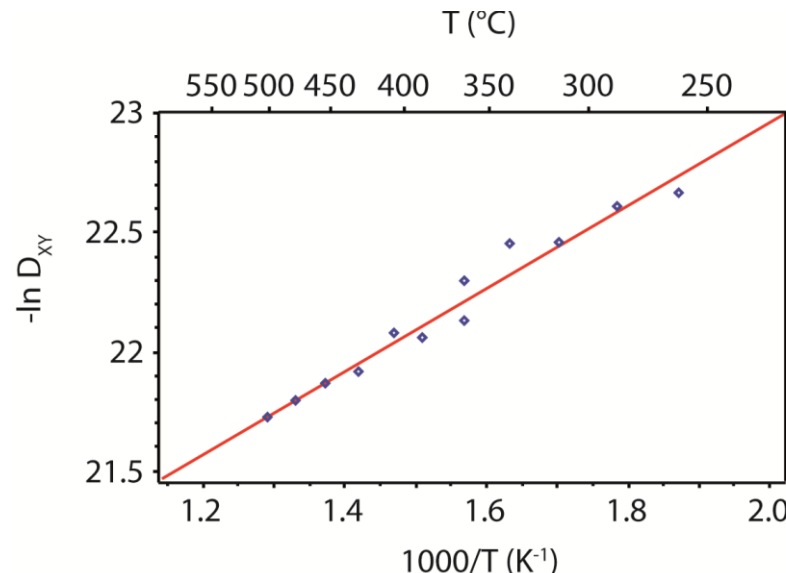
*Phys. Chem. Chem. Phys.* **14**, 13535-13538 2012

# Anisotropic diffusion in lithium nitride

X<sup>2</sup> plot vs D<sub>perp</sub> and D<sub>par</sub>



Z.Wang, M.Gobet, V.Sarou-Kanian,  
D.Massiot, C.Bessada, M.Deschamps  
*Phys. Chem. Chem. Phys.* **14**, 13535-13538  
2012



$$E_a = 14,5 \text{ kJ/mol} \\ = 0,15 \text{ eV for } D_{ab}$$

Good agreement with  
 $E_a = 0,17 \text{ eV for } D_{ab}$  using linewidths and T<sub>1</sub>

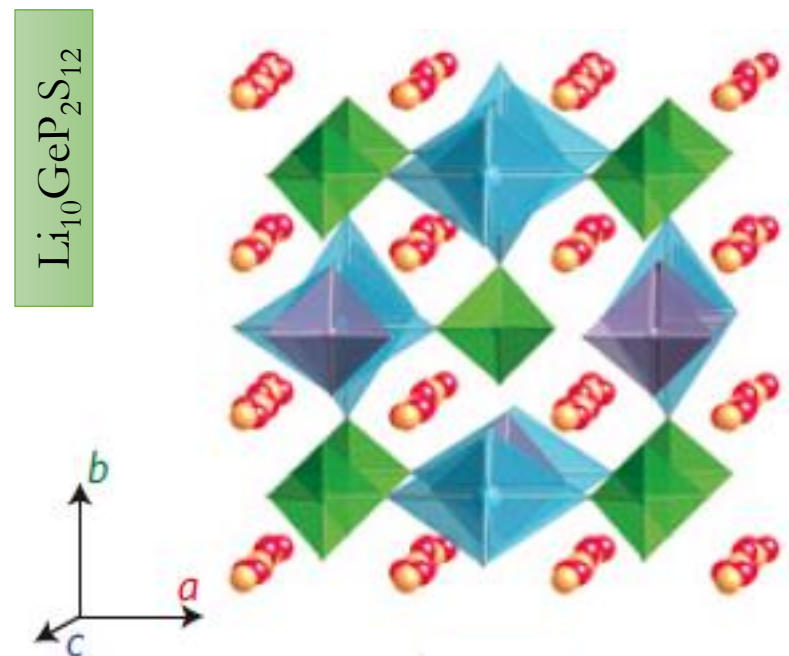
K. Nishida, T. Asai and S. Kawai  
*Solid State Commun.* **48** 701-704 (1983)

T (K)	D <sub>XY</sub> (x 10 <sup>-10</sup> m <sup>2</sup> /s)	$\tau_{XY}$ (ps)	Calculated from (1)
534	1.438	78	20828
560	1.522	73	10685
587	1.770	63	5880
612	1.779	63	3434
637	2.457	46	2112
637	2.079	54	2112
662	2.638	42	1358
680	2.587	43	1001
704	3.042	37	687
728	3.195	35	486
751	3.433	33	354
774	3.682	30	264

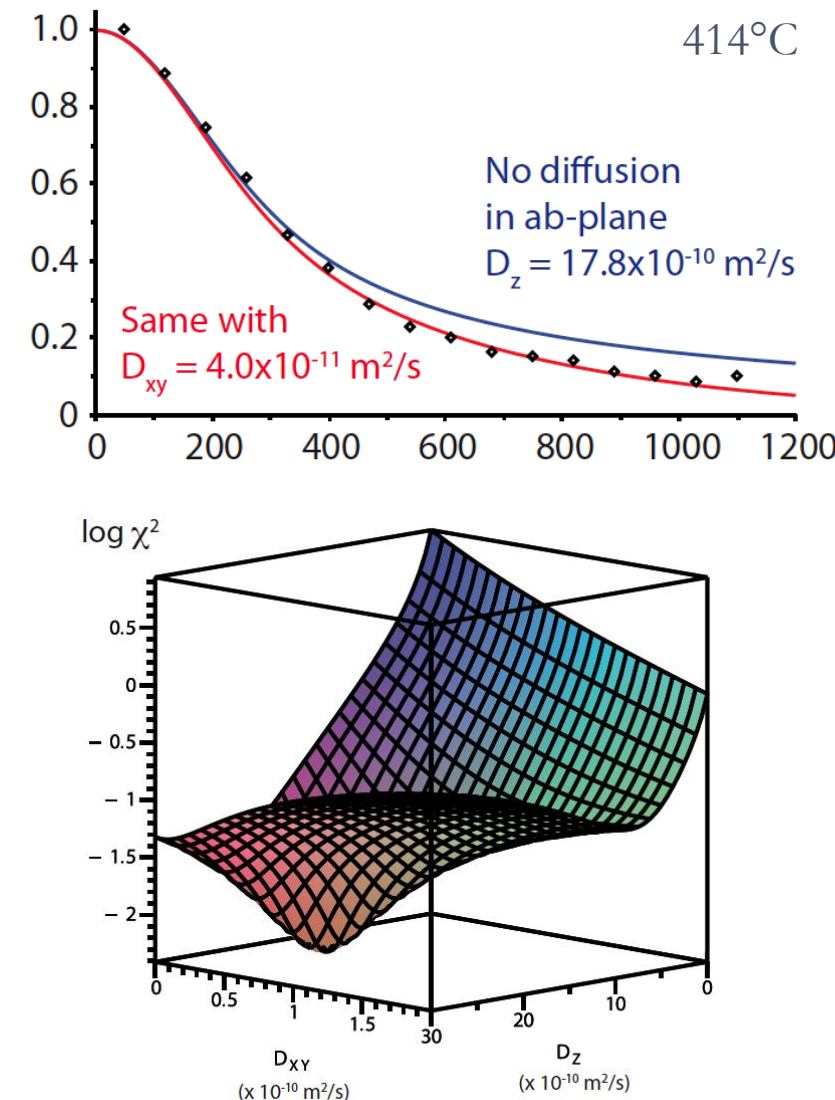
(1) NMR on **monocrystal** / SAE sensitive to change in H<sub>Q</sub>:  
 $E_a = 0,65 \text{ eV pour } D_c$   
M. Wilkening, D. Gebauer and P. Heitjans  
*J. Phys. Cond. Mat.* **20** 022201 (2008)

(2) Calculations:  $E_a = 0.0065 \text{ eV}$  for defect migration  
W. Li, G. Wu, C. M. Araujo, R. H. Scheicher et al.  
*Energy & Environmental Science* **3**, 1524-1530 (2010)  
-> measure the activation energy for the creation of defects

# $\text{Li}_{10}\text{GeP}_2\text{S}_{12}$ from RT to 414°C

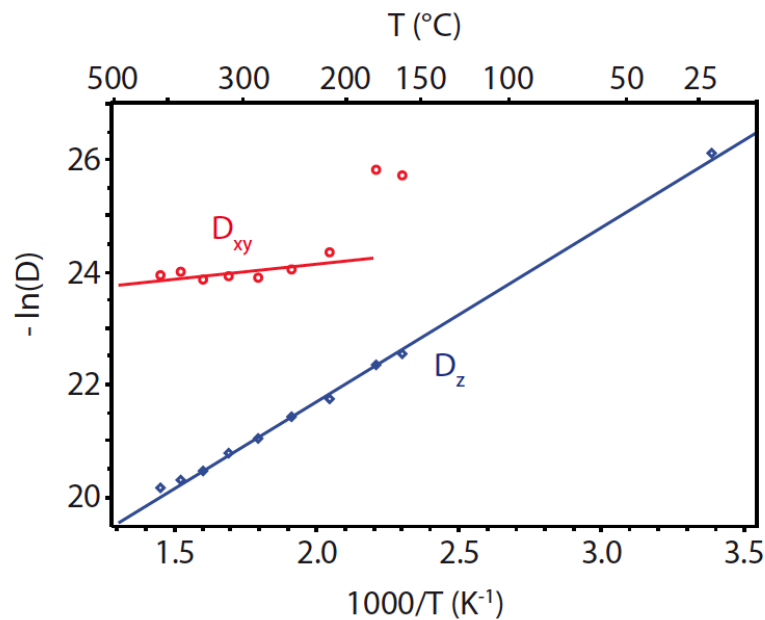


Kuhn, A.; Duppel, V.; Lotsch, B. V.  
*Energy Environ. Sci.* 2013, 6 (12), 3548–5.  
Anisotropic diffusion **not detected**  
**Averaging of quadrupolar interaction**  
Presence of **orthorhombic modification** of LGPS  
Observed by  $^{31}\text{P}$  NMR  
Size of crystallite vs diffusion delay  
Evolution of the sample ?



# $\text{Li}_{10}\text{GeP}_2\text{S}_{12}$ : comparison with MD and calculations

## Experiments



$E_{az} = 0.268 \text{ eV}$  (compared to 0.22 eV in Kuhn et al.)

$E_{axy} = 0.047 \text{ eV}$  at higher T -

$E_a(\text{conductivity}) = 0.24 \text{ eV}$

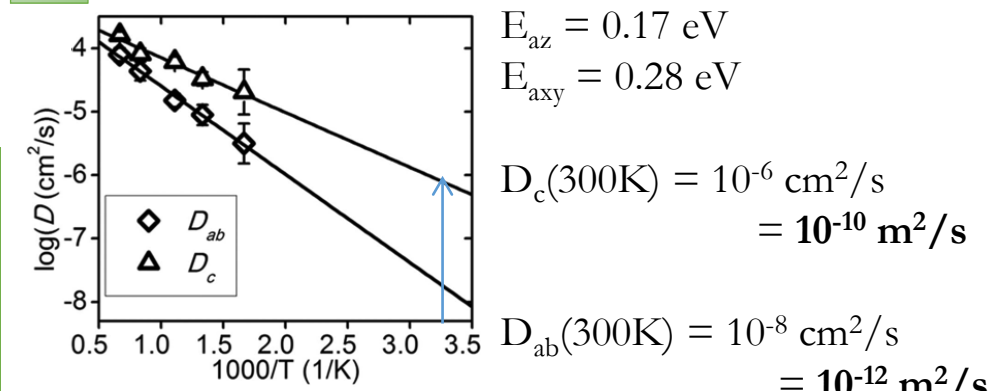
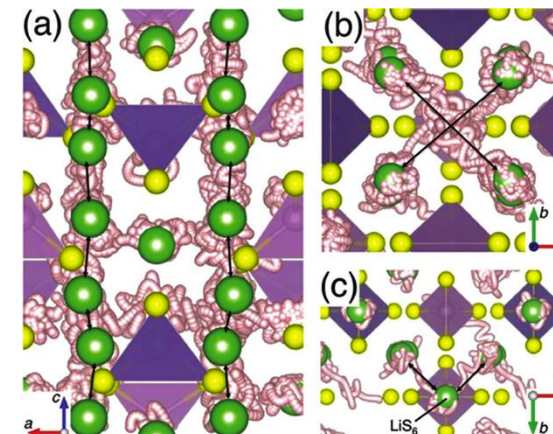
$D_z(300\text{K}) = 4.6 \times 10^{-12} \text{ m}^2/\text{s}$

$2.1 \times 10^{-10} \text{ m}^2/\text{s}$  in 1M LiTFSI in EC @ RT

$1.3 \times 10^{-11} \text{ m}^2/\text{s}$  for 1M LiTFSI in  $\text{Pyr}_{13}\text{FSI}$  @ RT

$10^{-13} \text{ m}^2/\text{s}$  at RT and  $4.84 \times 10^{-12} \text{ m}^2/\text{s}$  at 60°C in LiTFSI/PEO

## MD and Calculations



$$E_{az} = 0.17 \text{ eV}$$

$$E_{axy} = 0.28 \text{ eV}$$

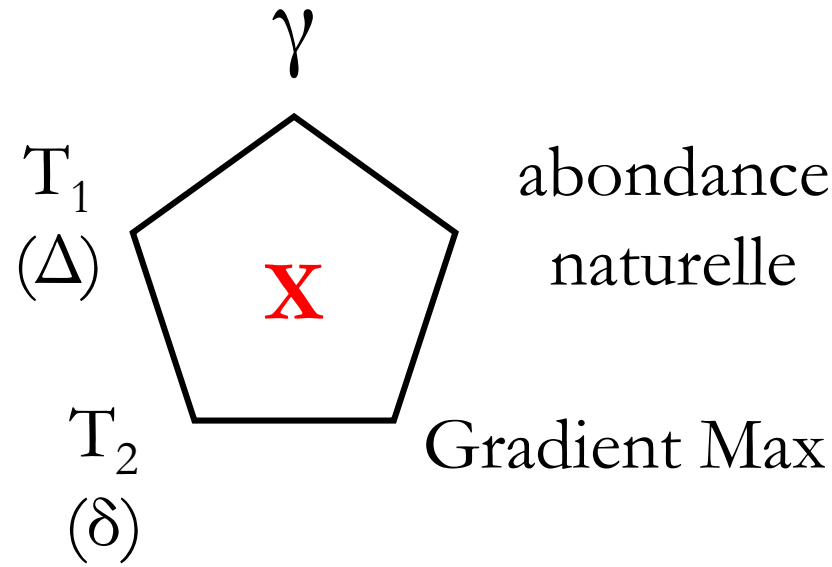
$$D_c(300\text{K}) = 10^{-6} \text{ cm}^2/\text{s}$$
$$= 10^{-10} \text{ m}^2/\text{s}$$

$$D_{ab}(300\text{K}) = 10^{-8} \text{ cm}^2/\text{s}$$
$$= 10^{-12} \text{ m}^2/\text{s}$$

Y.Mo, S.P.Ong, G.Ceder  
*Chem. Mater.* **24** 15–17 (2012)

# Conclusions

- Mesure des coefficients d'auto-diffusion
- Multi nucléaire → structure
- Isotropie / anisotropie
- $\downarrow 10^{-12,13} \text{ m}^2/\text{s}$



abondance  
naturelle

